



Computação Científica e Mecânica

**Estatística: sistema de discos em duas
dimensões**

AG França, HA Fernandes, PF Gomes (UFG-Jataí), RS Grisotto
(Unicamp), BM Rocha e FAAMN Soares (UFG-Goiânia)

Seção 1

1. Introdução
2. Modelo Teórico
3. Implementação computacional
4. Resultados
 - 4.1 Monte Carlo Cadeia de Eventos
 - 4.2 HOOMD-blue HPMC
5. Conclusões
6. Extras

Fases: sólido, líquido e gasoso



Água nas 3 fases. Fonte: Wikipedia.

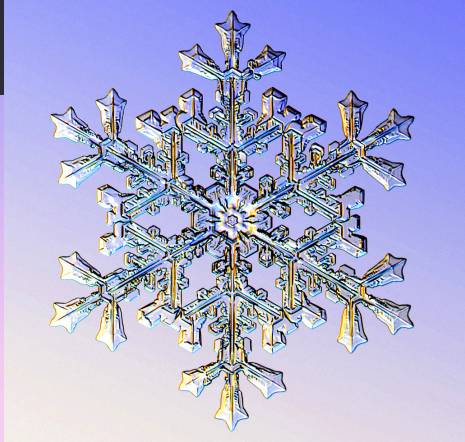
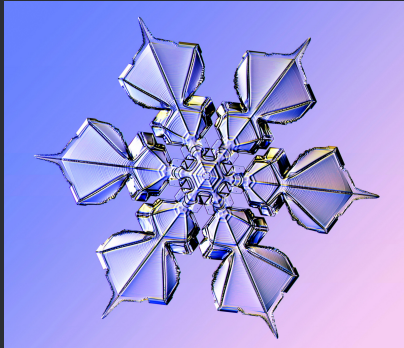
Parâmetro de ordem

- Cada fase é caracterizada por um **parâmetro de ordem**.
- Água: organização espacial das moléculas de H_2O .

Parâmetro de ordem

- Cada fase é caracterizada por um **parâmetro de ordem**.
- Água: organização espacial das moléculas de H_2O .
- Fase sólida: moléculas formam uma rede cristalina (hexagonal).
- Líquida: não há rede cristalina mas aglomerados.
- Gás: nem rede cristalina nem atração (uma molécula não sente interação da outra).

Fase sólida



Transição de Fase

- **Parâmetro de controle:** determina a fase. Exemplo: temperatura para a água.

Transição de Fase

- **Parâmetro de controle:** determina a fase. Exemplo: temperatura para a água.
- Outros fenômenos apresentam mais de uma fase: magnetismo, interações coletivas, eletricidade.
- Algumas propriedades são observadas em diferentes sistemas.
- A busca desses padrões é de grande relevância em Física.

Fase hexática

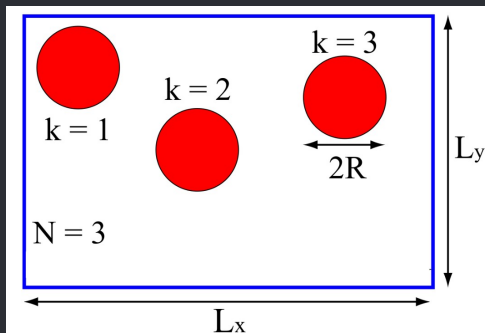
- Transições de fase em 2D: diferenças em relação ao caso 3D.
- **Exisência da fase hexática (e suas transições)**: é um tópico muito estudado em Mecânica Estatística.
- É observado experimentalmente [1]!
- Este trabalho: caracterização de um sistema 2D que apresenta a fase hexática.

Seção 2

1. Introdução
- 2. Modelo Teórico**
3. Implementação computacional
4. Resultados
 - 4.1 Monte Carlo Cadeia de Eventos
 - 4.2 HOOMD-blue HPMC
5. Conclusões
6. Extras

Sistema

- N discos rígidos (não deformáveis) de raio R em um espaço retangular de duas dimensões L_x e L_y .
- Superposição entre discos é proibida: distância mínima $2R$.

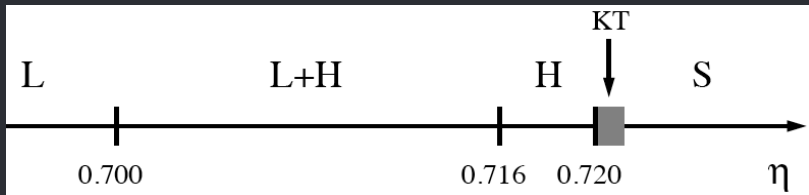


Discos rígidos em 2D

- Parâmetro de controle: **densidade**

$$\eta = \frac{N\pi R^2}{L_x L_y}.$$

- Faz o mesmo papel que a temperatura no caso da água.



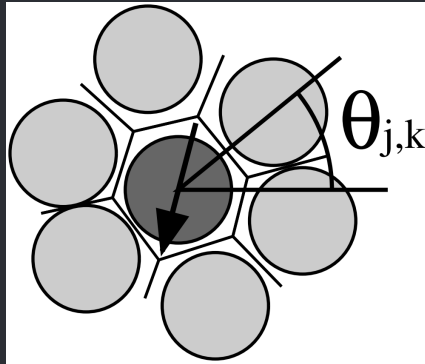
Orientação global

- A **orientação global** Ψ é a média da orientação local ψ_k :

$$\Psi = \left| \frac{1}{N} \sum_{k=1}^N \psi_k \right|,$$
$$\psi_k(x_k, y_k) = \frac{1}{6} \sum_{j=1}^6 e^{6i\theta_{j,k}},$$

onde (x_k, y_k) é a posição do disco k , $i = \sqrt{-1}$ e θ_{kl} é o ângulo da reta que une os discos k e l com o eixo x .

Orientação local



Constante de tempo

- Estudamos a dependência temporal: $\Psi = \Psi_0 e^{-t/\tau}$ onde τ é a constante de tempo [7].
- Para determinar τ : linearização de Ψ de forma que $y = a + bx$ onde

$$y = \ln \Psi, \quad a = \ln \Psi_0, \quad b = -\frac{1}{\tau}, \quad x = \ln t.$$

- Ajuste linear de y vs. x : $\tau = -1/b$, onde b é o coeficiente angular.

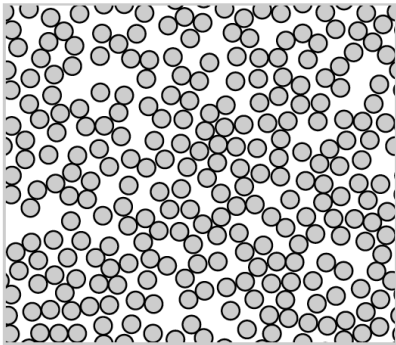
Objetivos

- Nosso objetivo: avaliar o comportamento da constante de tempo τ em função do número de discos.

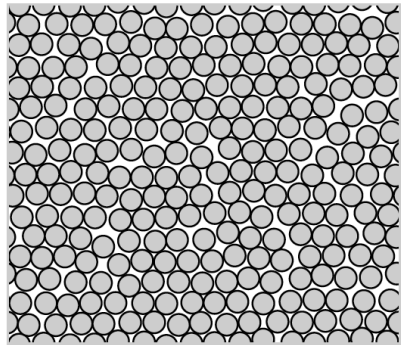
Objetivos

- Nosso objetivo: **avaliar o comportamento da constante de tempo τ em função do número de discos.**
- Inédito para esse sistema.
- Há várias sugestões teóricas para esse comportamento mas nenhuma numérica.

Discos rígidos em 2D



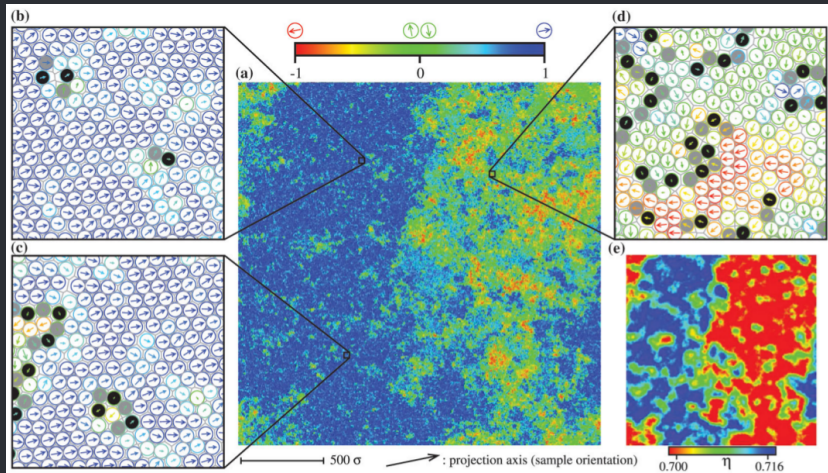
$$\eta = 0.48$$



$$\eta = 0.72$$

Fonte: [7].

Fase hexática



Seção 3

1. Introdução
2. Modelo Teórico
- 3. Implementação computacional**
4. Resultados
 - 4.1 Monte Carlo Cadeia de Eventos
 - 4.2 HOOMD-blue HPMC
5. Conclusões
6. Extras

Evolução temporal

- **Dinâmica temporal:** evolução temporal do sistema.
- O tempo é medido em iterações. Em cada iteração calculamos Ψ .
- Estado final no equilíbrio ($t > t_e$): fase macroscópica observada.
- Nosso trabalho: estudamos a dependência temporal de Ψ antes do equilíbrio ($t < t_e$).

Algoritmo 1

- Monte Carlo com Cadeia de Eventos.
- Em cada iteração vários discos se movem em $+x$ ou $+y$, um por vez, até a distância total percorrida seja ℓ .

Algoritmo 1

- Monte Carlo com Cadeia de Eventos.
- Em cada iteração vários discos se movem em $+x$ ou $+y$, um por vez, até a distância total percorrida seja ℓ .
- Construímos uma implementação do zero em C++.
- Cálculo de distâncias entre os discos: é a parte mais demorada do algoritmo.
- Lista de células: mais rápido que força bruta.

Algoritmo 2

- Monte Carlo com Cadeia de Markov: módulo HPMC [2] do pacote HOOMD-Blue [3, 5, 4].
- Semelhante ao MCCE porém com apenas um disco se movendo por iteração.
- Versão paralelizada com possibilidade de execução na GPU também.
- Facilidade: funções implementadas em Python (Miniconda).

HOOMD-Blue

HOOMD-blue



[Home](#) [Download](#) [Tutorial](#) [Benchmarks](#) [Documentation](#) [Publications](#)

HOOMD-blue is a *general-purpose* particle simulation toolkit. It scales from a single CPU core to **thousands of GPUs**.

You define particle initial conditions and interactions in a high-level `python` script. Then tell HOOMD-blue how you want to execute the job and it takes care of the rest. Python job scripts give you unlimited flexibility to create custom initialization routines, control simulation parameters, and perform in situ analysis.

[Download](#) and get started using HOOMD-blue today. Please [cite](#) HOOMD-blue if you use it published work.

```
import hoomd, hoomd.md
hoomd.context.initialize()
unitcell=hoomd.lattice.sc(a=2.0, type_name='A')
hoomd.init.create_lattice(unitcell=unitcell, n=10)
nl = hoomd.md.nlist.cell()
lj = hoomd.md.pair.lj(r_cut=3.0, nlist=nl)
lj.pair_coeff.set('A', 'A', epsilon=1.0, sigma=1.0)
all = hoomd.group.all()
hoomd.md.integrate.mode_standard(dt=0.005)
hoomd.md.integrate.langevin(group=all, kT=1.2, seed=4)
hoomd.run(10e3)
```

```
$ hoomd run.py --mode=cpu
$ hoomd run.py --mode=gpu
$ mpirun -n 256 hoomd run.py --mode=cpu
$ mpirun -n 64 hoomd run.py --mode=gpu
```

<http://glotzerlab.engin.umich.edu/hoomd-blue/index.html>

Seção 4

1. Introdução
2. Modelo Teórico
3. Implementação computacional
- 4. Resultados**
 - 4.1 Monte Carlo Cadeia de Eventos**
 - 4.2 HOOMD-blue HPMC**
5. Conclusões
6. Extras

Procedimento

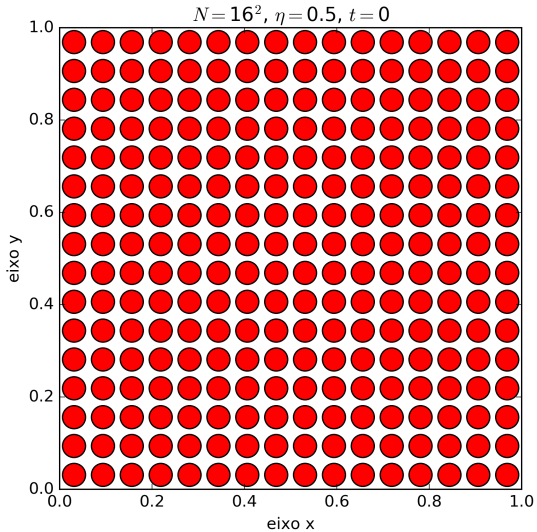
1. Cálculo de $\Psi(t)$ em função do tempo para $t = 0, 1, 2, \dots, Q$.
2. Gráfico loglog de $\Psi(t)$.
3. Ajuste linear de $\ln \Psi(t)$ vs $\ln t$ para obtenção de τ .
4. Números de discos calculados
 $N = 64^2, 128^2, 256^2, 400^2, 512^2, 660^2, 810^2, 960^2$ e 1024^2 .
5. Densidades calculadas $\eta = 0.695, 0.705$ e 0.718 .

Algoritmo MCCE

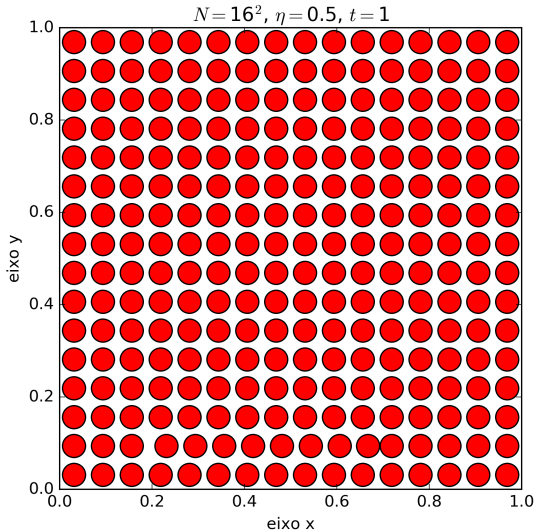
Algorithm 1 Evolução temporal com MCCE

```
1: procedure MCCE
2:   Input:  $N, \ell, \eta, S, Q, L_x$ 
3:   listcell  $\leftarrow$  create_list( $N$ )
4:   for  $k \in S$  do
5:     LxLy  $\leftarrow$  initial( $N, \eta, L_x$ )
6:     add_disks( $N$ , listcell)
7:     seed  $\leftarrow k$ 
8:     for  $t \in Q$  do
9:       LxLy  $\leftarrow$  newL(LxLy,  $N, \eta, \ell$ , seed, listcell)
10:      Psi( $t$ )  $\leftarrow$  abs_Psi( $\eta$ , LxLy, listcell)
11:   file  $\leftarrow$  time_Psi.csv
12:   write( $t, Psi, file$ )
```

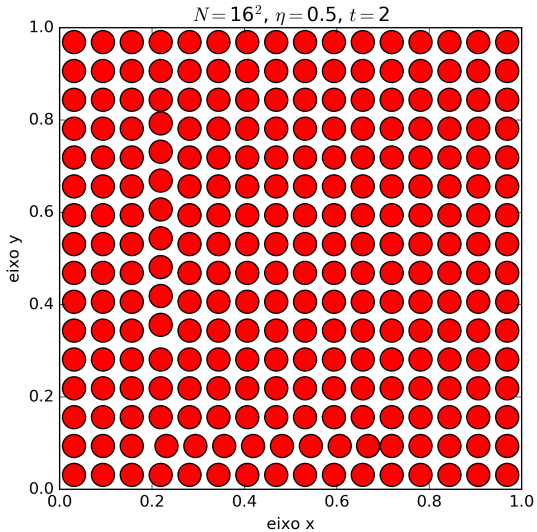
Evolução Temporal



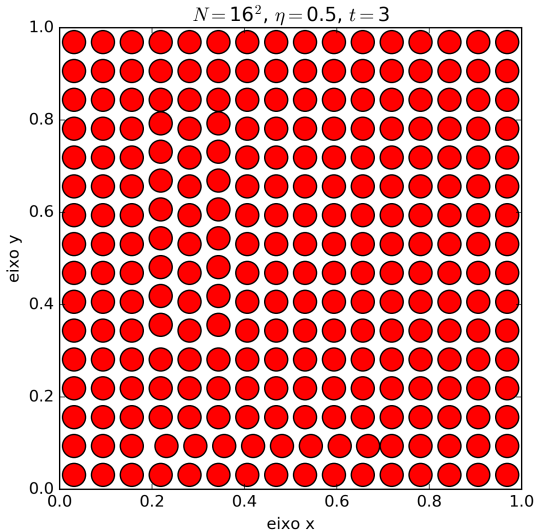
Evolução Temporal



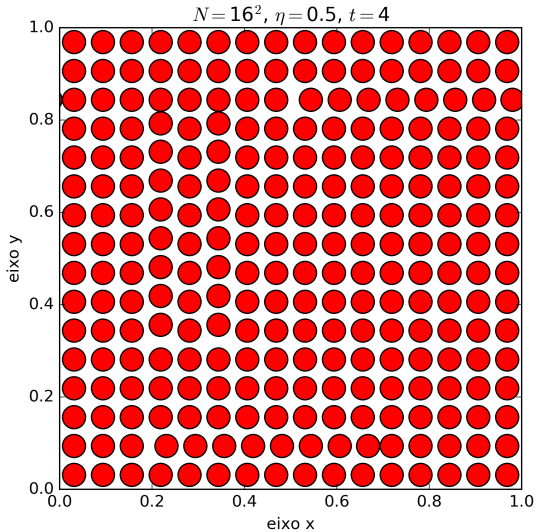
Evolução Temporal



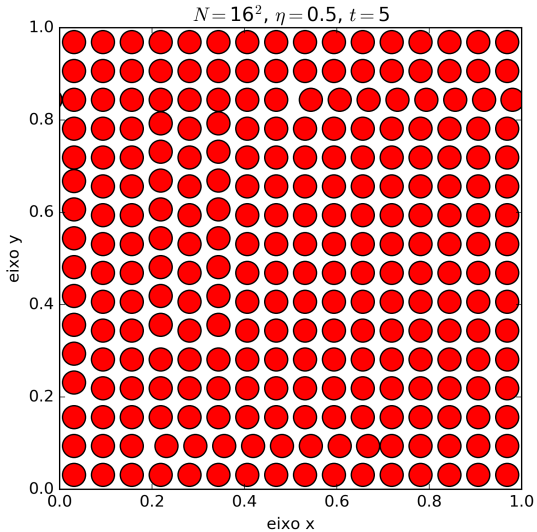
Evolução Temporal



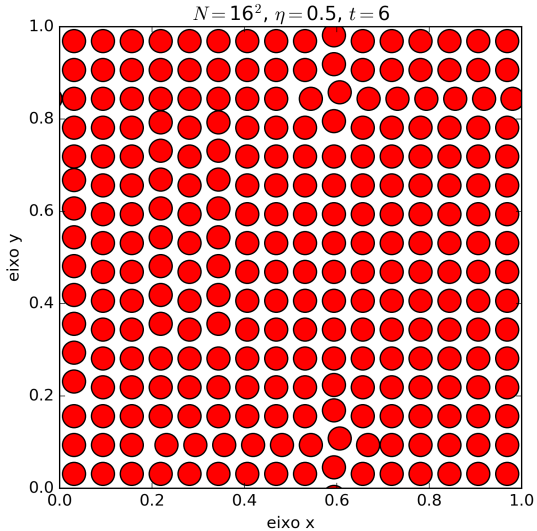
Evolução Temporal



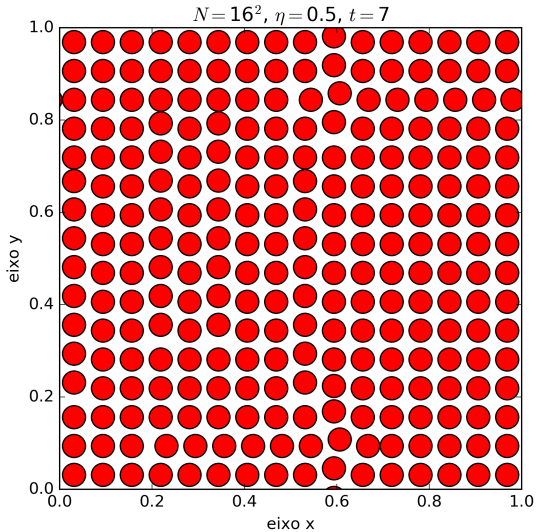
Evolução Temporal



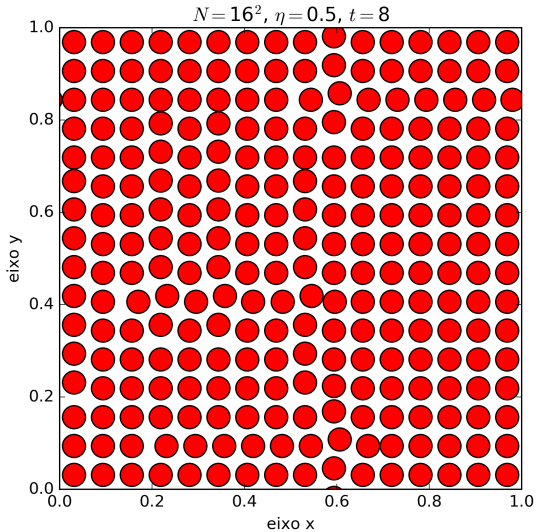
Evolução Temporal



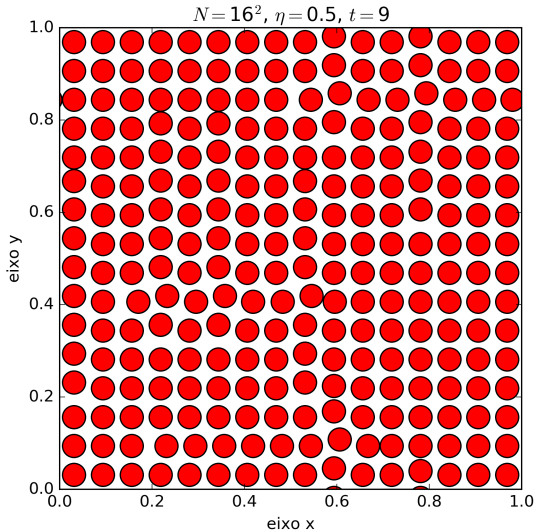
Evolução Temporal



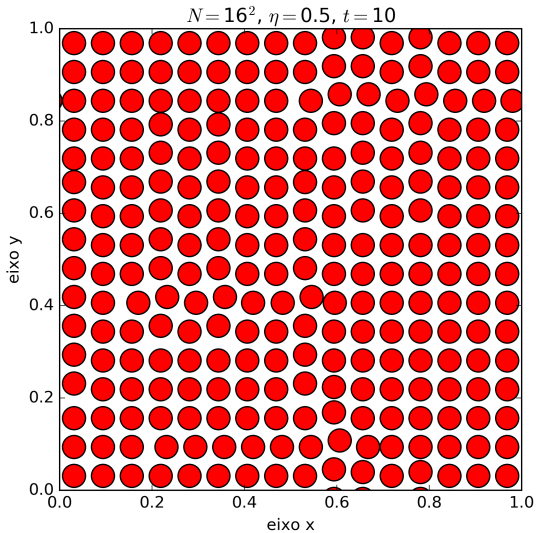
Evolução Temporal



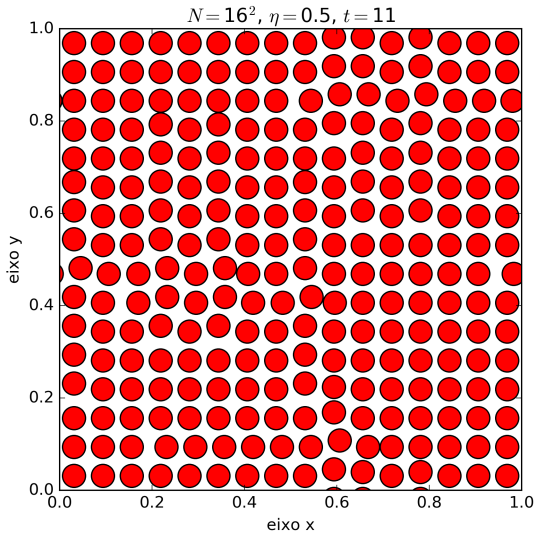
Evolução Temporal



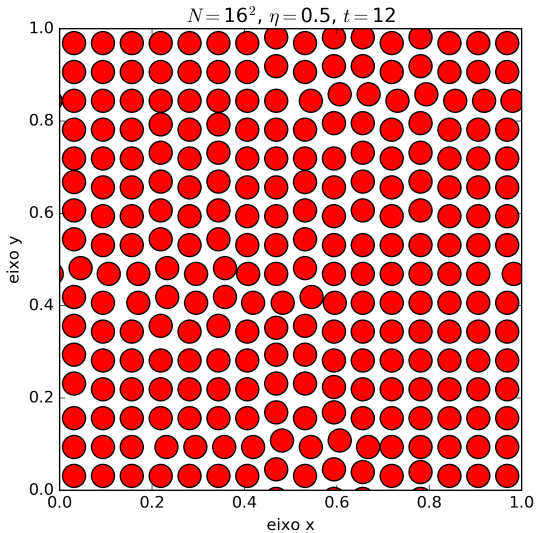
Evolução Temporal

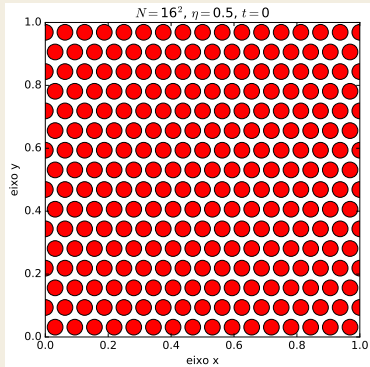
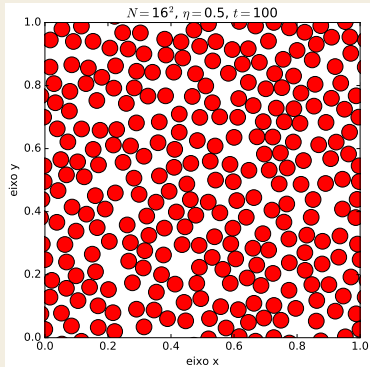


Evolução Temporal

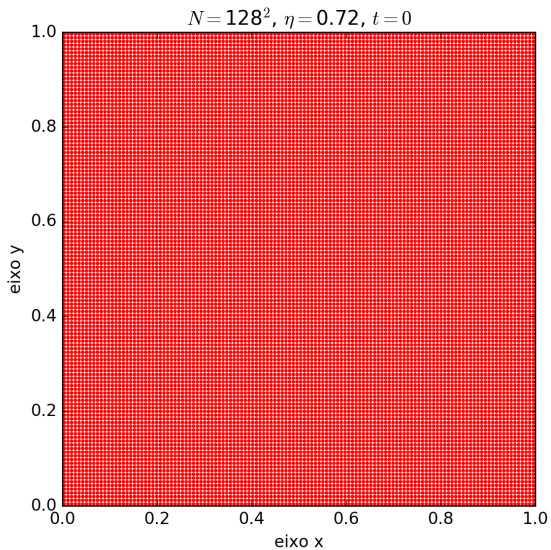


Evolução Temporal

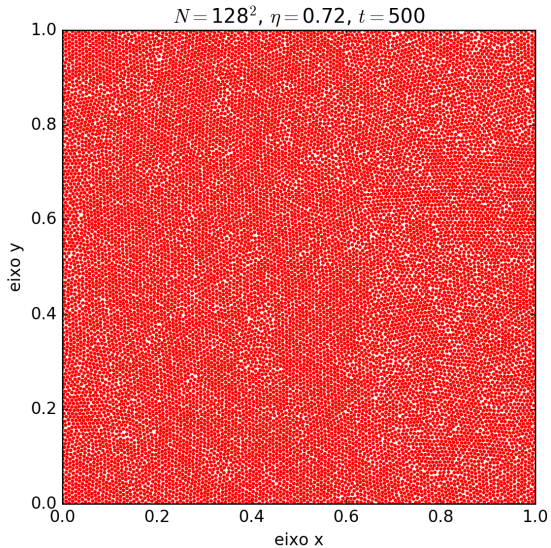




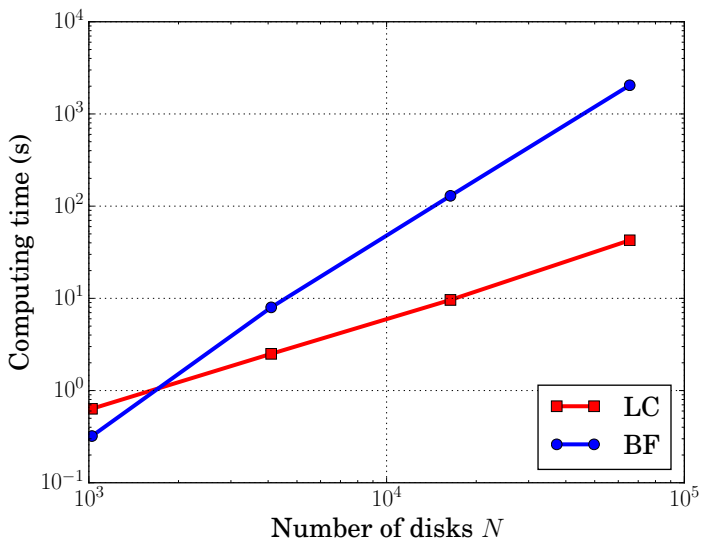
$$N = 128^2 = 16384$$



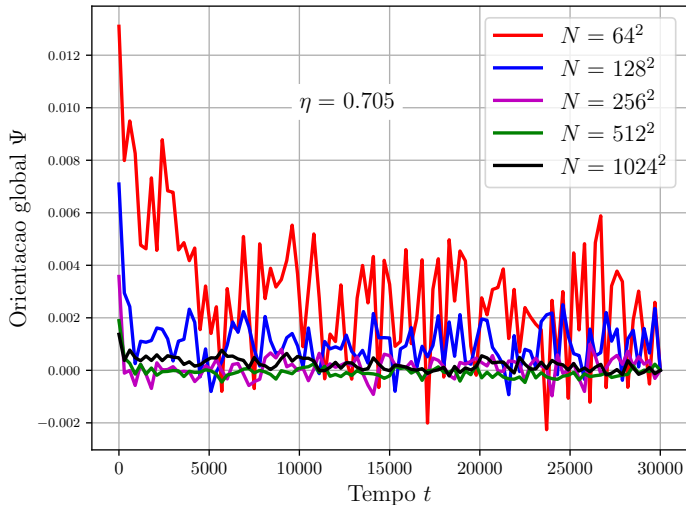
$$N = 128^2 = 16384$$



Força bruta vs. Lista de células



Monte Carlo Cadeia de Eventos



Conclusões

1. Dinâmica temporal usando Monte Carlo com Cadeia de Eventos: bem sucedida.
2. Cálculo de Ψ : alguns ajustes precisam ser feitos.

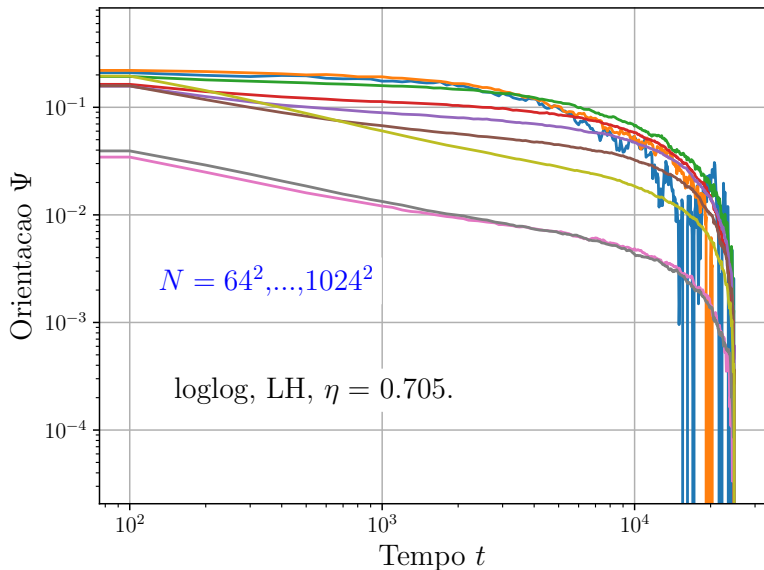
Conclusões

1. Dinâmica temporal usando Monte Carlo com Cadeia de Eventos: bem sucedida.
2. Cálculo de Ψ : alguns ajustes precisam ser feitos.
3. Porém, o **desenvolvimento deste algoritmo** nos fez compreender os detalhes da dinâmica temporal e sua implementação.
4. Isso nos permitiu entender e usar adequadamente o módulo HPMC do pacote HOOMD-blue.

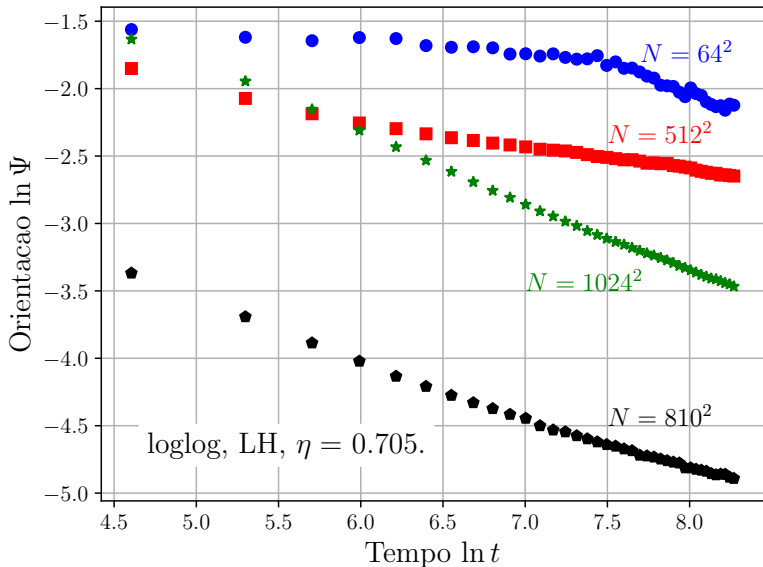
HPMC HOOMD-Blue

```
1 import hoomd, freud
2 import hoomd.hpmc
3 from freud.order import HexOrderParameter
4
5 class PsiAnalyzer:
6
7     def __init__(self, system):
8         self.system = system
9         self.psi_soma_array = np.zeros(Q, dtype=np.complex64)
10        self.psi2_soma_array = np.zeros(Q, dtype=np.complex64)
11        self.order_parameter = HexOrderParameter(2.8, 6.0, 6)
12        #self.total_particles = system.take_snapshot().particles.N
13        self.initial_configuration = system.take_snapshot();
14
15    def __call__(self, step):
16        snap = self.system.take_snapshot()
17        pos = snap.particles.position
18        box = freud.box.Box(snap.box.Lx, snap.box.Ly, is2D=True)
19        self.order_parameter.compute(box, pos)
20        self.psi_soma_array[step % Q] += np.sum(self.order_parameter.getPsi())
21        self.psi2_soma_array[step % Q] += np.sum(self.order_parameter.getPsi())**2
22
23    def get_soma_psi_abs(self): #Metodos
24        return np.abs(self.psi_soma_array)
25
26    def get_soma_psi2_abs(self):
27        return np.abs(self.psi2_soma_array)
```

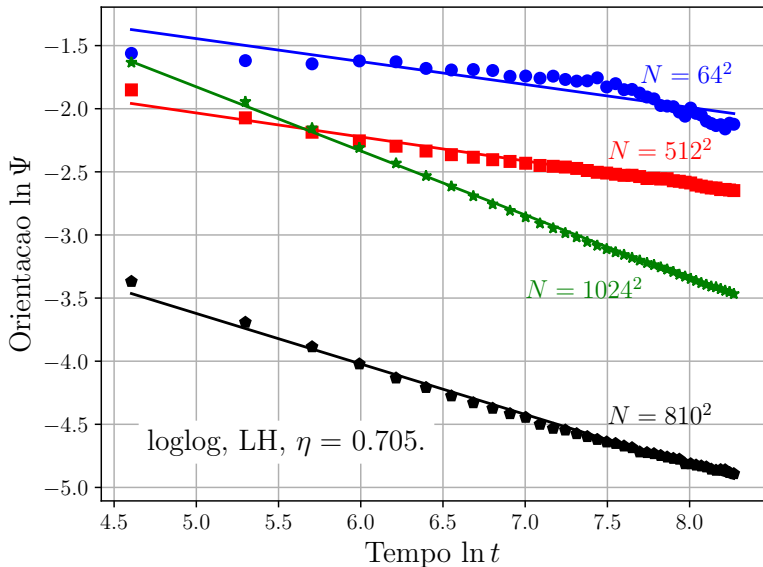
HPMC HOOMD-Blue



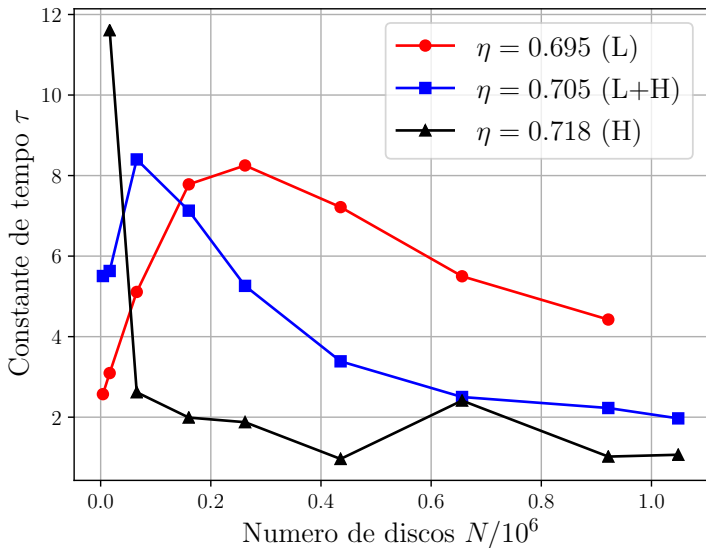
Ajuste exponencial



Ajuste exponencial



Costante de tempo



Seção 5

1. Introdução
2. Modelo Teórico
3. Implementação computacional
4. Resultados
 - 4.1 Monte Carlo Cadeia de Eventos
 - 4.2 HOOMD-blue HPMC
5. Conclusões
6. Extras

Conclusões

1. Usando HPMC do pacote HOOMD-Blue, calculamos a constante de decaimento τ para vários números de discos N em diferentes fases.
2. Novos cálculos (longos e demorados) estão sendo feitos para outras fases.

Conclusões

1. Usando HPMC do pacote HOOMD-Blue, calculamos a constante de decaimento τ para vários números de discos N em diferentes fases.
2. Novos cálculos (longos e demorados) estão sendo feitos para outras fases.
3. A física precisa cada vez mais da colaboração com a Computação para conseguir resolver problemas trabalhosos!

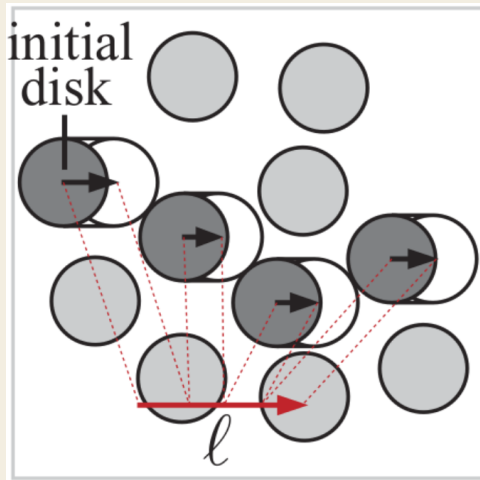
Bibliography

- [1] S. Deuschländer *et al*, PRL **113**, 127801 (2014).
- [2] J. A. Anderson *et al*, Comp. Phys. Comm., **204**, 21-30 (2016).
- [3] J. A. Anderson *et al*, Jou. Comput. Phys. 227, 5342 (2008).
- [4] <http://glotzerlab.engin.umich.edu/hoomd-blue>
- [5] J. Glaser *et al*, Comp. Phys. Comm., **192**, 97 (2015).
- [6] Etienne Bernard. Algorithms and applications of the Monte Carlo method : Two-dimensional melting and perfect sampling. Université Pierre et Marie Curie 2011.
- [7] E. P. Bernard *et al*, PRE **80**, 056704 (2009).

Seção 6

1. Introdução
2. Modelo Teórico
3. Implementação computacional
4. Resultados
 - 4.1 Monte Carlo Cadeia de Eventos
 - 4.2 HOOMD-blue HPMC
5. Conclusões
6. Extras

Orientação local



Transição de Fase

- O comportamento espacial de ψ e ϕ pode ser classificado em termos do alcance: curto, longo e quase longo.
- A fase hexática é observada apenas em sistemas 2D.

Ordem	Sólido	Hexático	Líquido
ϕ	Quase longo	Curto	Curto
ψ	Longo	Quase longo	Curto

Tabela: Fonte: Refs. [?, ?].

Alcance

Alcance	Comportamento
Curto	$\exp(-r/\xi_6)$
Quase longo	$r^{-\eta_6}$
Longo	constante $\neq 0$

Tabela: Definições dos tipos de alcance em função da distância [1].